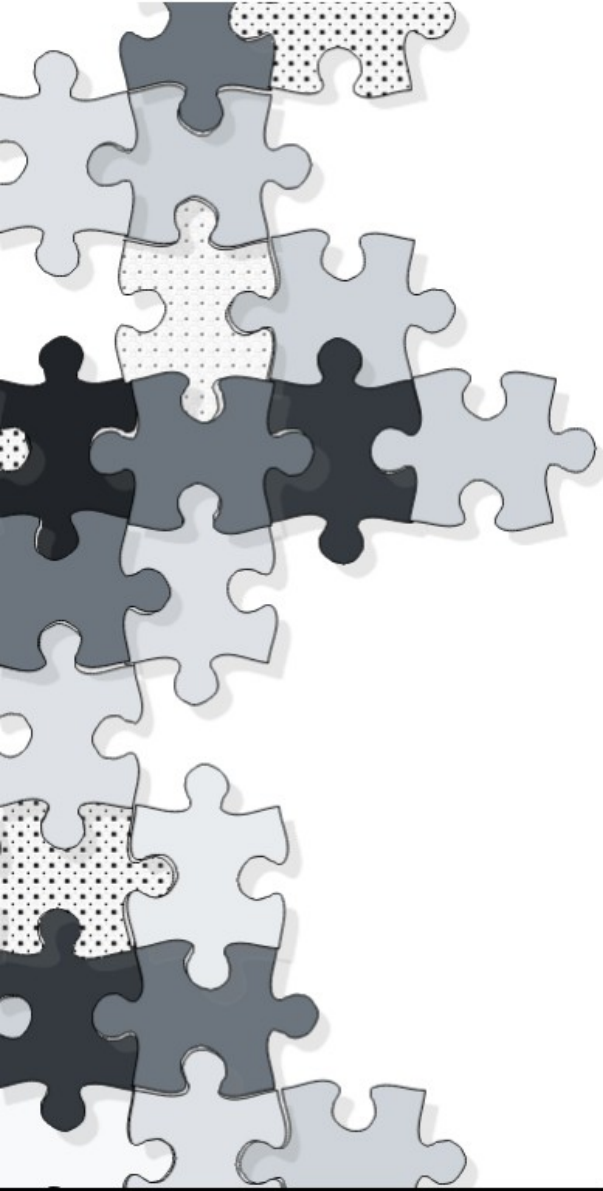




# Nona Aula de Aeroelasticidade



# Aerodinâmica Dinâmica - Flutter

Referência: Cap 11 – Wright & Cooper

# Sumário

- Introdução
- Modelo Aerodinâmico Simplificado Não-estacionário
- Modelo Aeroelástico Binário
- Cálculo da Velocidade de Flutter

# Introdução

- foi visto nas aulas passadas a velocidade de divergência e reversão de comandos (principalmente aileron)
- hoje: Flutter -> é uma vibração auto-excitada na qual a estrutura retira energia do ar, faz com que a asa vibre o que pode resultar em falha catastrófica
- ocorre quando as forças aerodinâmicas associadas com o movimento de dois modos de vibração fazem os mesmos se acoplarem

# Relembrando Modelo Aerodinâmico Não-estacionário

Sustentação por unidade de envergadura

$$L = \left\{ \pi \rho b^2 \left[ -\omega^2 z_0 + i\omega V \theta_0 + \omega^2 b a \theta_0 \right] + 2\pi \rho V b (F + iG) \left[ i\omega z_0 + V \theta_0 + i\omega b \left( \frac{1}{2} - a \right) \theta_0 \right] \right\} e^{i\omega t},$$

Momento por unidade de envergadura

$$M = \left\{ \pi \rho b^2 \left( -\omega^2 b a z_0 - i\omega V b \left( \frac{1}{2} - a \right) \theta_0 + b^2 \omega^2 \left( \frac{1}{8} + a^2 \right) \theta_0 \right) \right. \\ \left. + 2\pi \rho V b^2 \left( a + \frac{1}{2} \right) (F + iG) \left( i\omega z_0 + V \theta_0 + i\omega b \left( \frac{1}{2} - a \right) \theta_0 \right) \right\} e^{i\omega t}$$

# Modelo Aerodinâmico Simplificado Não-estacionário

Considerando:

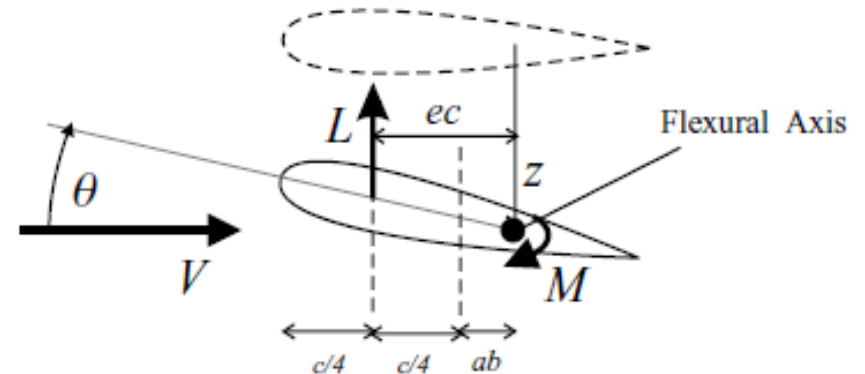
$$k = \frac{\omega b}{V}, \quad z = z_0 e^{i\omega t}, \quad \dot{z} = i\omega z_0 e^{i\omega t}, \quad \theta = \theta_0 e^{i\omega t} \quad \text{and} \quad \dot{\theta} = i\omega \theta_0 e^{i\omega t}.$$

Sustentação por unidade de envergadura

$$L = \rho V^2 \left( L_z z + L_z \frac{b \dot{z}}{V} + L_\theta b \theta + L_\theta \frac{b^2 \dot{\theta}}{V} \right)$$

Momento por unidade de envergadura

$$M = \rho V^2 \left( M_z b z + M_z \frac{b^2 \dot{z}}{V} + M_\theta b^2 \theta + M_\theta \frac{b^3 \dot{\theta}}{V} \right).$$



# Modelo Aerodinâmico Simplificado Quase-estacionário

Sustentação por unidade de envergadura

$$L = \rho V^2 \left( L_z z + L_z \frac{b \dot{z}}{V} + L_\theta b \theta + L_\theta \frac{b^2 \dot{\theta}}{V} \right)$$



$$L = \frac{1}{2} \rho V^2 c a_1 \left( \theta + \frac{\dot{z}}{V} \right),$$

Momento por unidade de envergadura

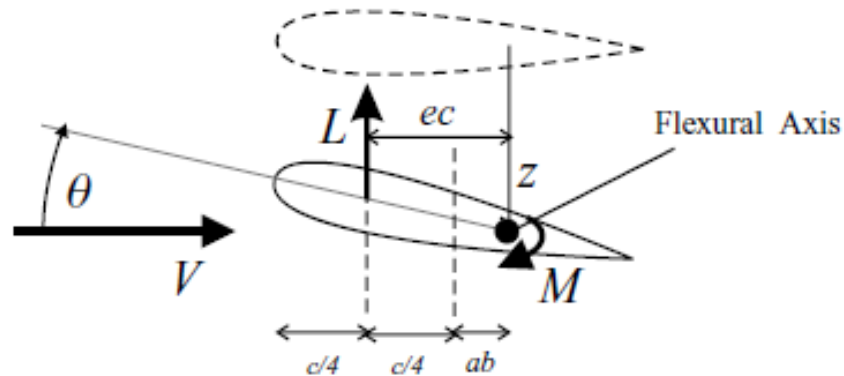
$$M = \rho V^2 \left( M_z b z + M_z \frac{b^2 \dot{z}}{V} + M_\theta b^2 \theta + M_\theta \frac{b^3 \dot{\theta}}{V} \right)$$



$$M = \frac{1}{2} \rho V^2 e c^2 a_1 \left( \theta + \frac{\dot{z}}{V} \right)$$

# Modelo Aerodinâmico Simplificado Quase-estacionário

O deslocamento vertical ( $z$ ) e o ângulo de arfagem ( $\theta$ ) permaneçam os mesmos independente do tempo.





# Modelo Aerodinâmico Simplificado Não-estacionário

Quase-estacionário

$$L = \frac{1}{2} \rho V^2 c a_1 \left( \theta + \frac{\dot{z}}{V} \right),$$

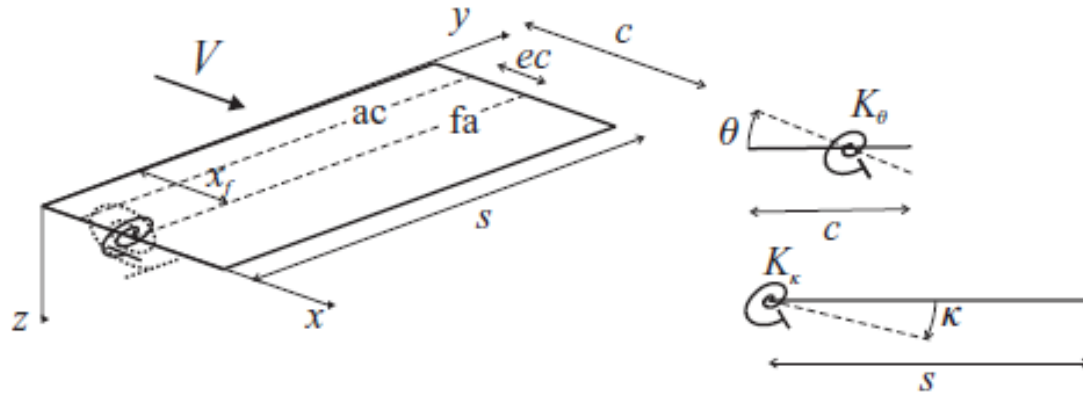
$$M = \frac{1}{2} \rho V^2 e c^2 a_1 \left( \theta + \frac{\dot{z}}{V} \right)$$

Não-estacionário

$$L = \frac{1}{2} \rho V^2 c a_1 \left( \theta + \frac{\dot{z}}{V} \right),$$

$$M = \frac{1}{2} \rho V^2 c^2 \left[ e a_1 \left( \theta + \frac{\dot{z}}{V} \right) + M_\theta \frac{\dot{\theta} c}{4V} \right]$$

# Modelo Aeroelástico Binário



$$z(x, y, t) = y\kappa(t) + (x - x_f)\theta(t) = \phi_\kappa\kappa + \phi_\theta\theta,$$

- asa sem enflexamento e sem afilamento
- envergadura -s
- corda - c
- mola rotacional em flap  $K_\beta$  e em arfagem  $K_\theta$  conectadas a uma distância  $ec$  atrás do centro aerodinâmico definindo a posição do eixo de flexão
- distribuição uniforme de massa com o centro de massa localizado no meio da corda

# Equações de Movimento

usando a teoria de faixas:

$$dL = \frac{1}{2} \rho V^2 c \, dy \, a_w \left( \frac{y \dot{\kappa}}{V} + \theta \right), \quad dM = \frac{1}{2} \rho V^2 c^2 dy \left[ e a_w \left( \frac{y \dot{\kappa}}{V} + \theta \right) + M_\theta \frac{\dot{\theta} c}{4V} \right],$$

$$\begin{bmatrix} I_\kappa & I_{\kappa\theta} \\ I_{\kappa\theta} & I_\theta \end{bmatrix} \begin{Bmatrix} \ddot{\kappa} \\ \ddot{\theta} \end{Bmatrix} + \rho V \begin{bmatrix} \frac{cs^3 a_w}{6} & 0 \\ -\frac{ec^2 s^2 a_w}{4} & -\frac{c^3 s}{8} M_\theta \end{bmatrix} \begin{Bmatrix} \dot{\kappa} \\ \dot{\theta} \end{Bmatrix} + \left\{ \rho V^2 \begin{bmatrix} 0 & \frac{cs^2 a_w}{4} \\ 0 & -\frac{ec^2 s a_w}{2} \end{bmatrix} + \begin{bmatrix} K_\kappa & 0 \\ 0 & K_\theta \end{bmatrix} \right\} \begin{Bmatrix} \kappa \\ \theta \end{Bmatrix} = \begin{Bmatrix} 0 \\ 0 \end{Bmatrix},$$

# Forma Geral da Equação Aeroelástica

$$\underbrace{\begin{bmatrix} I_{\kappa} & I_{\kappa\theta} \\ I_{\kappa\theta} & I_{\theta} \end{bmatrix}}_A \begin{Bmatrix} \ddot{\kappa} \\ \ddot{\theta} \end{Bmatrix} + \rho V \begin{bmatrix} \frac{cs^3 a_w}{6} & 0 \\ -\frac{ec^2 s^2 a_w}{4} & -\frac{c^3 s}{8} M_{\theta} \end{bmatrix} \begin{Bmatrix} \dot{\kappa} \\ \dot{\theta} \end{Bmatrix}$$

$\rho V B \dots D=0$  (sem amortecimento estrutural)

$$+ \left\{ \rho V^2 \begin{bmatrix} 0 & \frac{cs^2 a_w}{4} \\ 0 & -\frac{ec^2 s a_w}{2} \end{bmatrix} + \begin{bmatrix} K_{\kappa} & 0 \\ 0 & K_{\theta} \end{bmatrix} \right\} \begin{Bmatrix} \kappa \\ \theta \end{Bmatrix} = \begin{Bmatrix} 0 \\ 0 \end{Bmatrix},$$



$$A\ddot{q} + (\rho V B + D)\dot{q} + (\underbrace{\rho V^2 C}_{\text{Aeroelastic Damping}} + E)q = 0.$$

# Solução do Problema de Autovalor

$$A\ddot{q} + (\rho VB + D)\dot{q} + (\rho V^2 C + E)q = 0.$$

$$I\dot{q} - I\dot{q} = 0,$$



$$\begin{bmatrix} I & 0 \\ 0 & A \end{bmatrix} \begin{Bmatrix} \dot{q} \\ \ddot{q} \end{Bmatrix} - \begin{bmatrix} 0 & I \\ -(\rho V^2 C + E) & -(\rho VB + D) \end{bmatrix} \begin{Bmatrix} q \\ \dot{q} \end{Bmatrix} = \begin{Bmatrix} 0 \\ 0 \end{Bmatrix}.$$



$$\begin{Bmatrix} \dot{q} \\ \ddot{q} \end{Bmatrix} - \begin{bmatrix} 0 & I \\ -A^{-1}(\rho V^2 C + E) & -A^{-1}(\rho VB + D) \end{bmatrix} \begin{Bmatrix} q \\ \dot{q} \end{Bmatrix} = 0 \Rightarrow \dot{x} - Qx = 0.$$

# Solução do Problema de Autovalor

$$\begin{Bmatrix} \dot{q} \\ \ddot{q} \end{Bmatrix} - \begin{bmatrix} 0 & \mathbf{I} \\ -\mathbf{A}^{-1}(\rho V^2 \mathbf{C} + \mathbf{E}) & -\mathbf{A}^{-1}(\rho V \mathbf{B} + \mathbf{D}) \end{bmatrix} \begin{Bmatrix} q \\ \dot{q} \end{Bmatrix} = 0$$



$$x = x_0 e^{\lambda t}$$

$$x_j = \begin{Bmatrix} q_j \\ \lambda q_j \end{Bmatrix}, \quad j = 1, 2, \dots, N.$$

$$(\mathbf{I}\lambda - \mathbf{Q})x_0 = 0 \quad \text{or} \quad (\mathbf{Q} - \mathbf{I}\lambda)x_0 = 0,$$

Se a parte real dos autovalores for positiva  
sistema instável

$$(\mathbf{A} - \mathbf{I}\lambda)x = 0.$$



$$\lambda_j = -\zeta_j \omega_j \pm i \omega_j \sqrt{1 - \zeta_j^2}, \quad j = 1, 2, \dots, N,$$

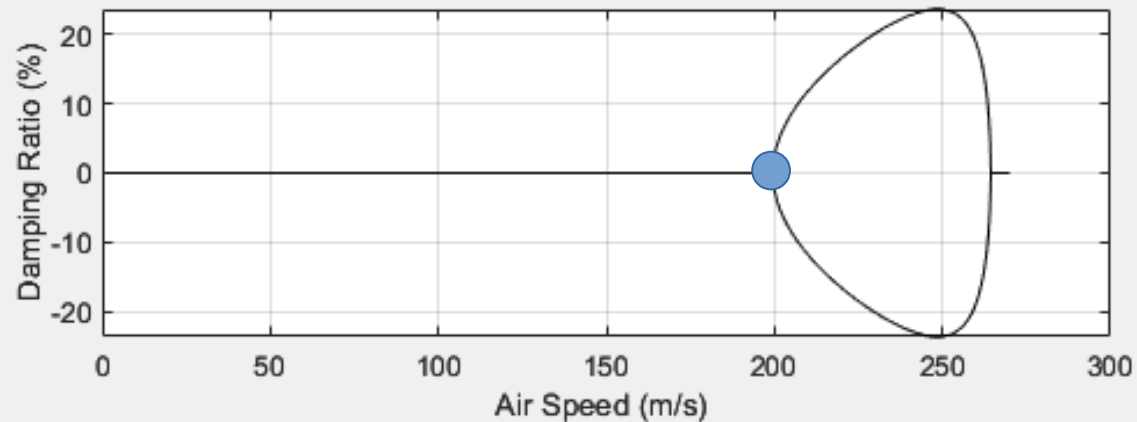
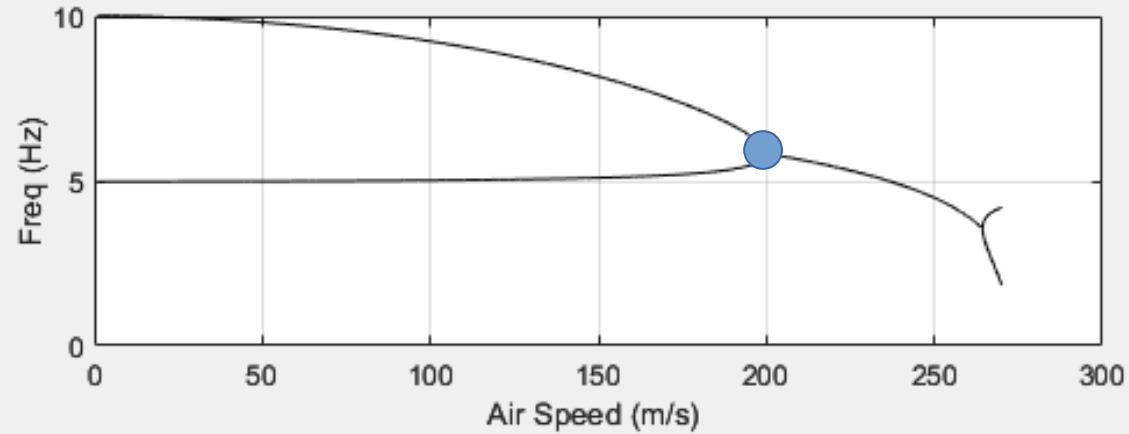
# Exemplo

Obtenha os gráficos de frequência e amortecimento com amortecimento estrutural zero ( $x_f=0,48c$  e  $x_m=0,5c$ )

Table 11.1 Baseline parameters for the binary flutter model

|                         |                      |  |                                      |
|-------------------------|----------------------|--|--------------------------------------|
| Semi-span ( $s$ )       | 7.5 m                | Flap stiffness ( $K_\kappa$ )                          | $I_\kappa(5 \times 2\pi)^2$ N m/rad  |
| Chord ( $c$ )           | 2 m                  | Pitch stiffness ( $K_\theta$ )                         | $I_\theta(10 \times 2\pi)^2$ N m/rad |
| Flexural axis ( $x_f$ ) | $0.48c$              | Lift curve slope ( $a_w$ )                             | $2\pi$                               |
| Mass axis               | $0.5c$               | Nondimensional pitch damping derivative ( $M_\theta$ ) | $-1.2$                               |
| Mass per unit area      | $100 \text{ kg/m}^2$ | Air density ( $\rho$ )                                 | $1.225 \text{ kg/m}^3$               |

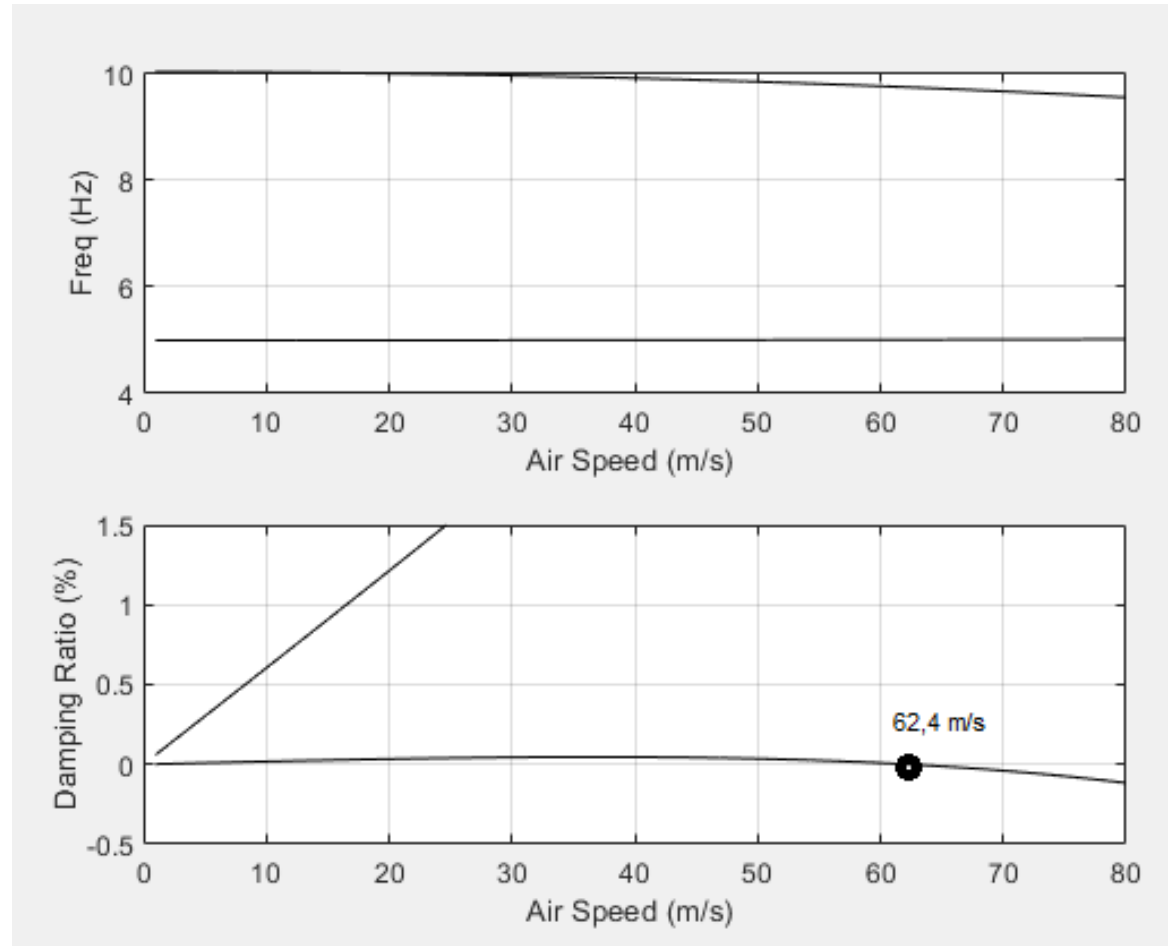
# Amortecimento Aerodinâmico Zero





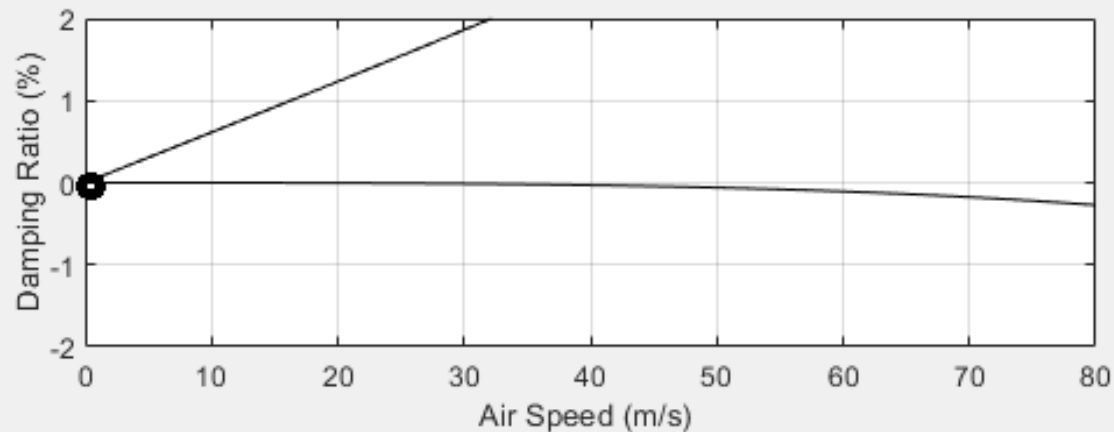
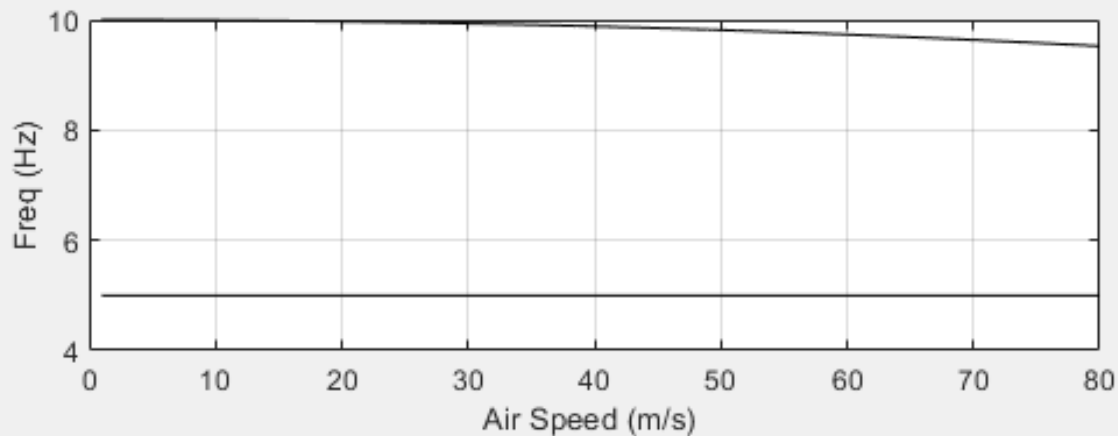
# Amortecimento Aerodinâmico com Aerodinâmica Quase-estacionária

$$M_{\dot{\theta}} = 0$$

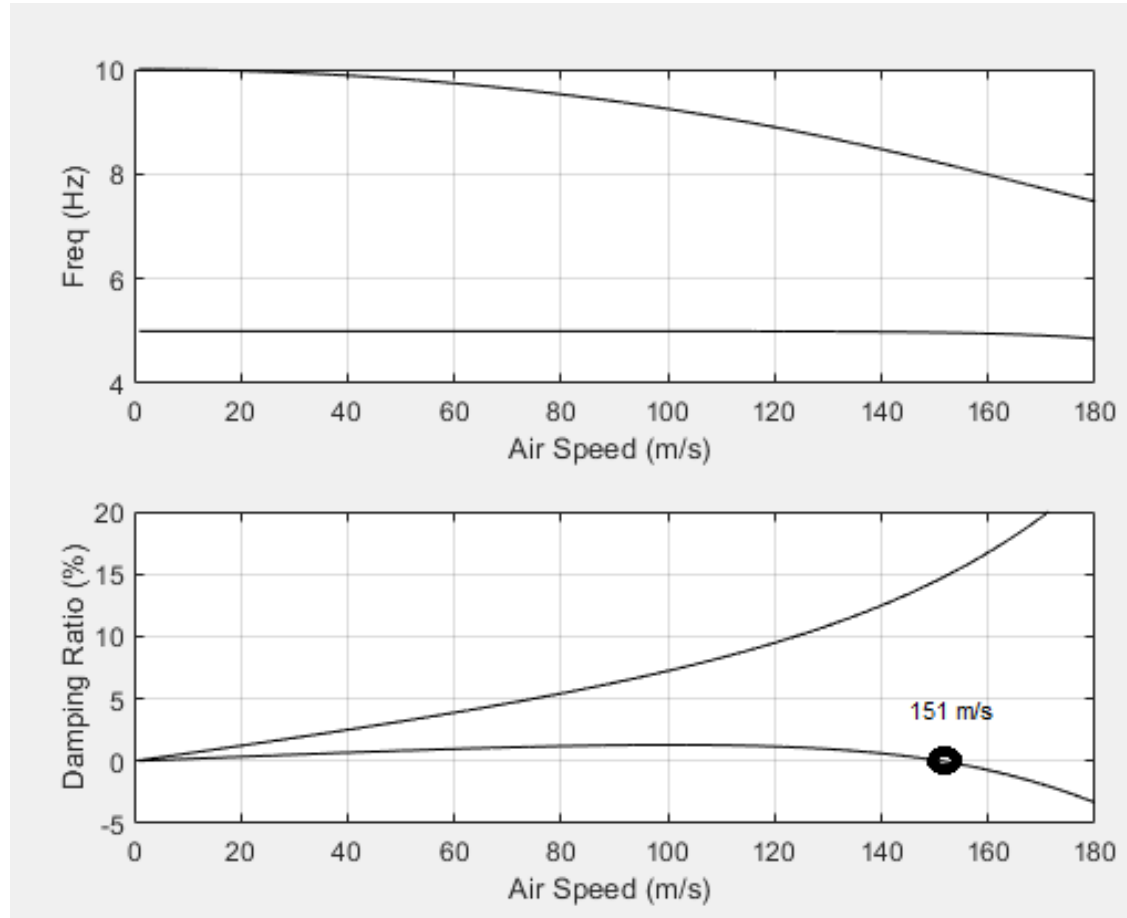


# Amortecimento Aerodinâmico com Aerodinâmica Quase-estacionária no sistema modificado

$$M_{\dot{\theta}} = 0$$



# Amortecimento Aerodinâmico com Aerodinâmica Não-estacionária no sistema modificado



# Amortecimento Aerodinâmico com Aerodinâmica Não-estacionária

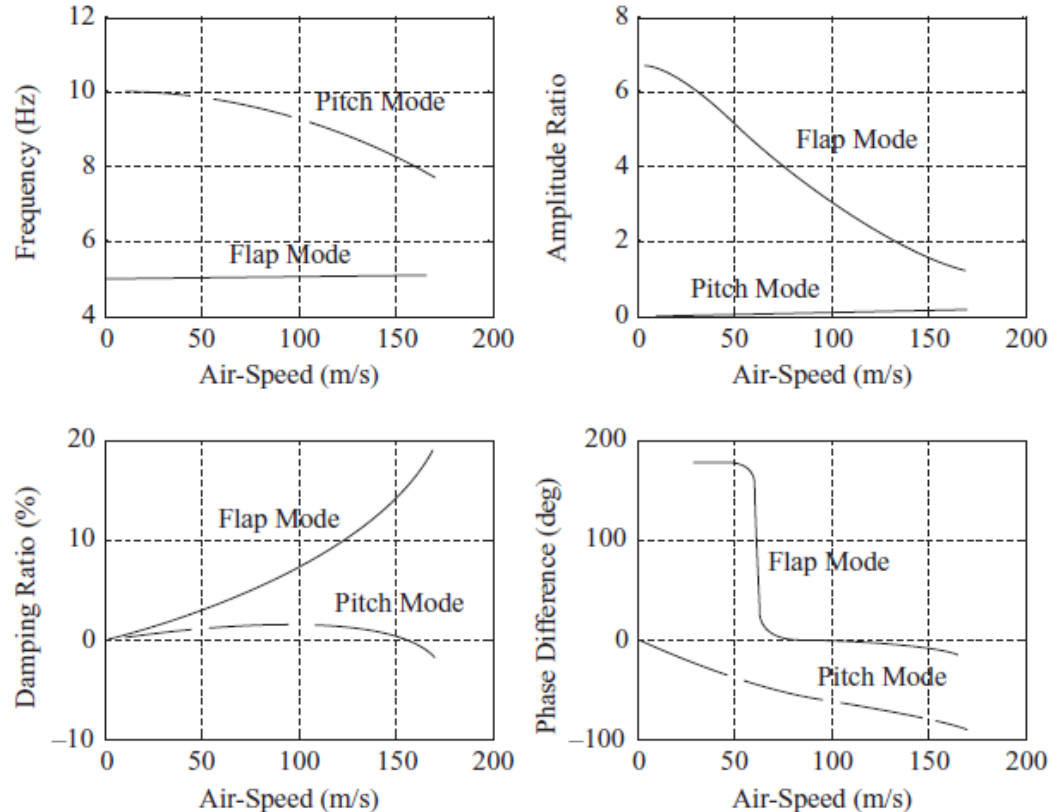
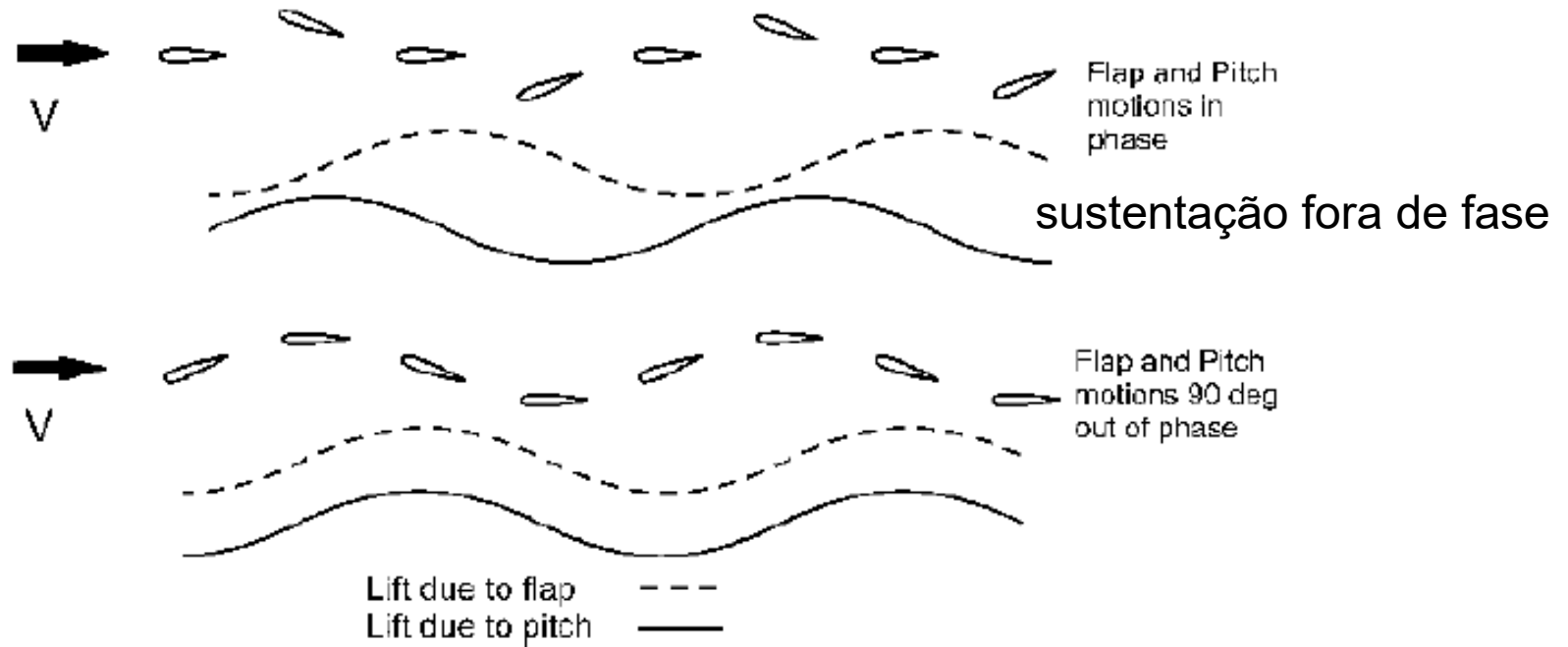


Figure 11.7 Frequency, damping and mode shape trends for the baseline system with  $M_\theta = -1.2$ .

# Fase no Flutter



# Soft e Hard Flutter

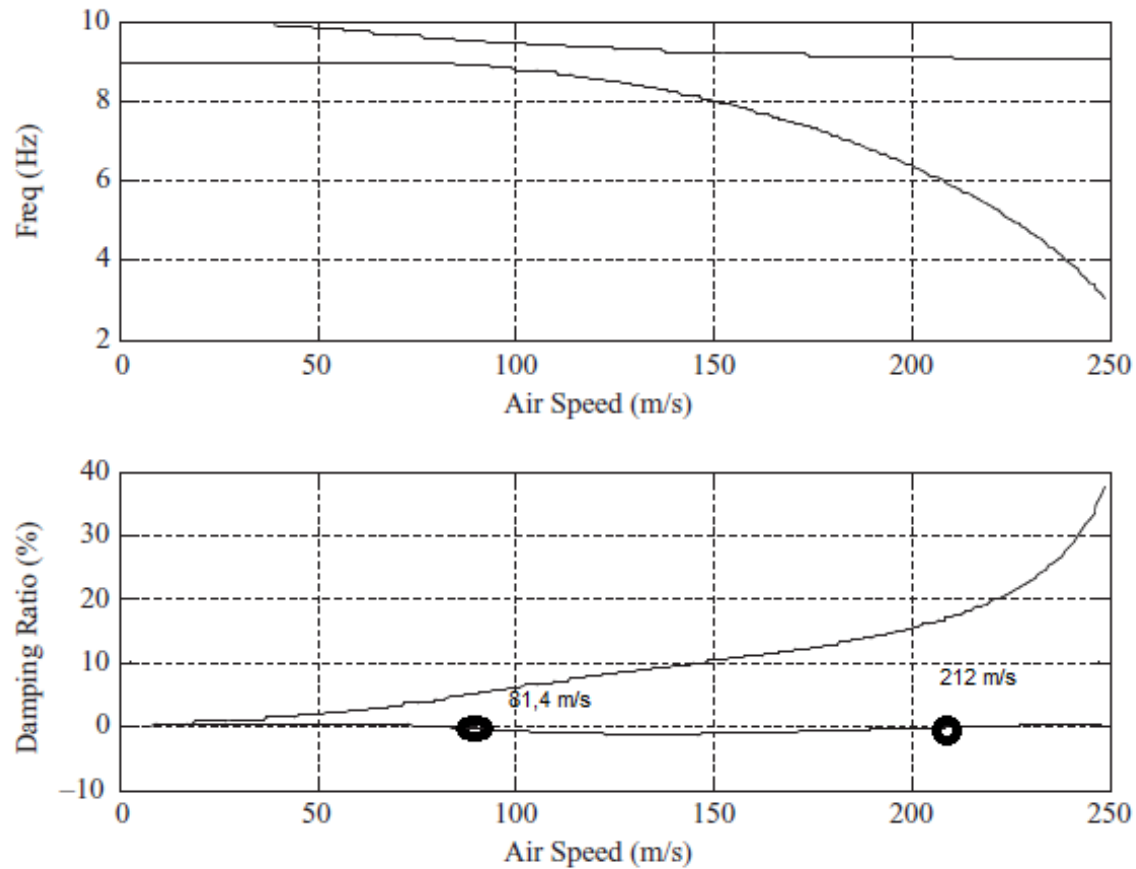


Figure 11.9 Frequency and damping ratio trends for the system with soft flutter.

# Amortecimento Estrutural

Amortecimento proporcional:

$$\mathbf{D} = \alpha \mathbf{A} + \beta \mathbf{E}.$$

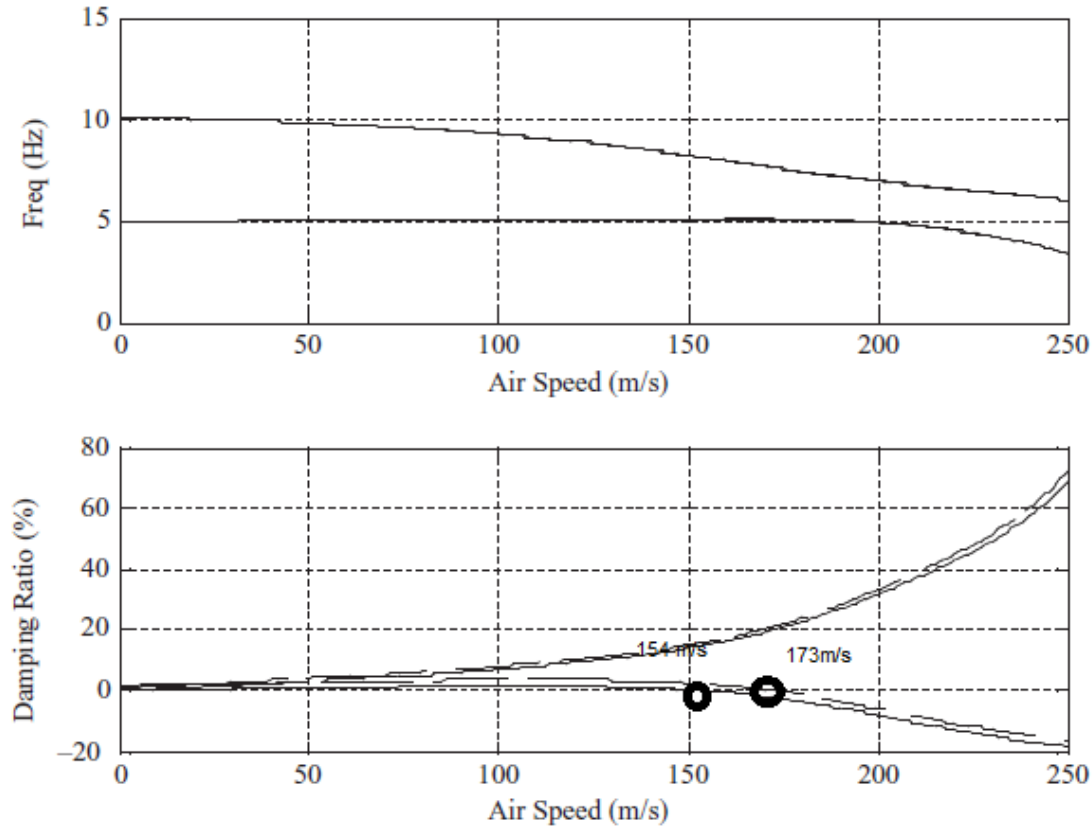
Coeficientes de Raileigh  $\alpha$  e  $\beta$  com uma faixa de frequências  $\omega_a$  e  $\omega_b$  que atinge razões de amortecimento  $\zeta_a$  e  $\zeta_b$ :

$$\alpha = \frac{2\omega_a\omega_b (\zeta_a\omega_b - \zeta_b\omega_a)}{\omega_a^2\omega_b^2}, \quad \beta = \frac{2(\zeta_a\omega_a - \zeta_b\omega_b)}{\omega_b^2 - \omega_a^2}.$$

# Inclusão do Amortecimento Estrutural

$$\mathbf{D} = \alpha \mathbf{A} + \beta \mathbf{E}.$$

$$\alpha = \beta = 0,03$$




1.10 Effect of viscous structural damping (— —) on frequency and damping trends.

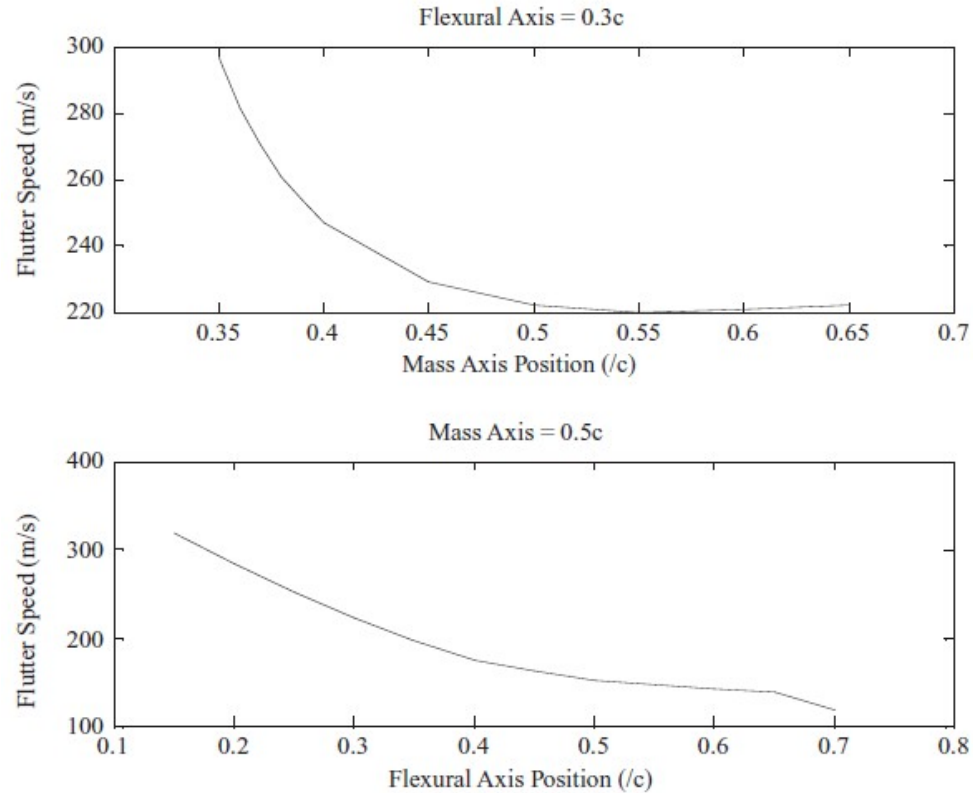


# Efeito da mudança de posição do eixo de flexão e da matriz de massa

Inclusão de uma faixa com massa  $M$  por unidade de comprimento no bordo de ataque. A posição do eixo de massa em relação ao bordo de fuga:

$$x_{\text{cm}} = \frac{mc^2}{2(mc + M)}$$

$$\mathbf{A} = \begin{bmatrix} \frac{ms^3c}{3} + \frac{Ms^3}{3} & \frac{ms^2}{2} \left( \frac{c^2}{2} - cx_f \right) - \frac{Ms^2x_f}{2} \\ \frac{ms^2}{2} \left( \frac{c^2}{2} - cx_f \right) - \frac{Ms^2x_f}{2} & ms \left( \frac{c^3}{3} - c^2x_f + cx_f^2 \right) + Msx_f^2 \end{bmatrix}.$$

# Efeito da mudança de posição do eixo de flexão e da matriz de massa



**Figure 11.11** Effect of flexural and mass axes position on flutter speed.

# Aula Teórico-Prática

# Exercício

Obtenha a velocidade de flutter para o modelo binário que se segue. Para isto modifique o programa em matlab que está disponível em pdf no Moodle.

| Caso | xf    | xcm | g aed | g estrutural        | $M_\theta$ | Mbordo ataque |
|------|-------|-----|-------|---------------------|------------|---------------|
| 1    | 0,48c | 0,5 | N     | N                   | -1,2       | 0             |
| 2    | 0,35  | 0,5 | N     | N                   | -1,2       | 0             |
| 3    | 0,48  | 0,5 | S     | N                   | 0          | 0             |
| 4    | 0,5   | 0,5 | S     | N                   | 0          | 0             |
| 5    | 0,5   | 0,5 | S     | N                   | -1,2       | 0             |
| 6    | 0,5   | 0,5 | S     | $\alpha=\beta=0,01$ | -1,2       | 0             |
| 7    | 0,3   | 0,4 | S     | $\alpha=\beta=0,03$ | -1,2       | S             |